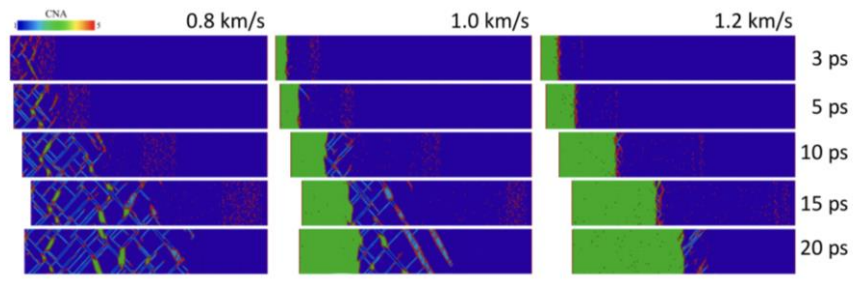
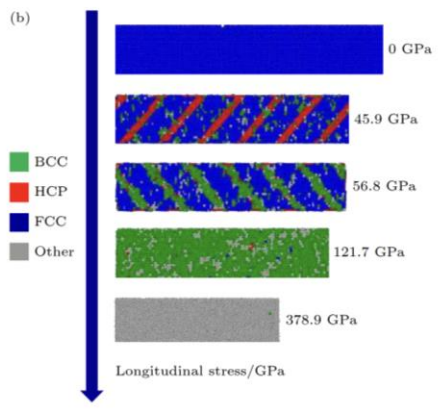
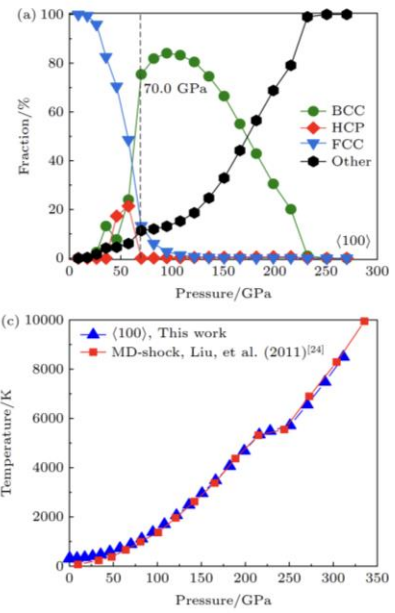


Модель фазовых переходов в Al-Si сплавах

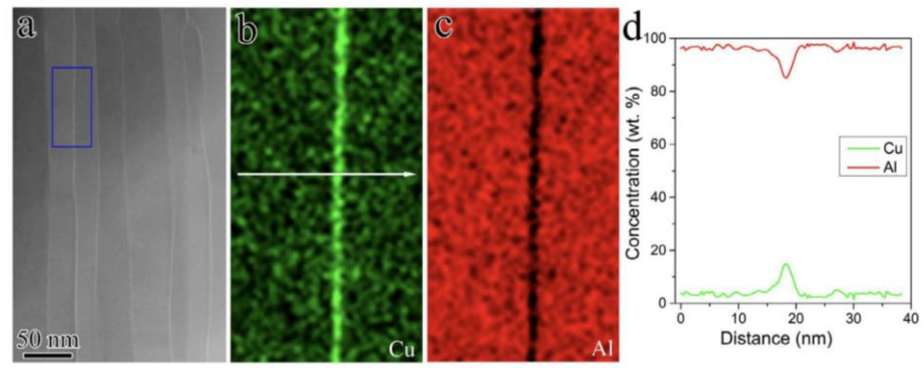
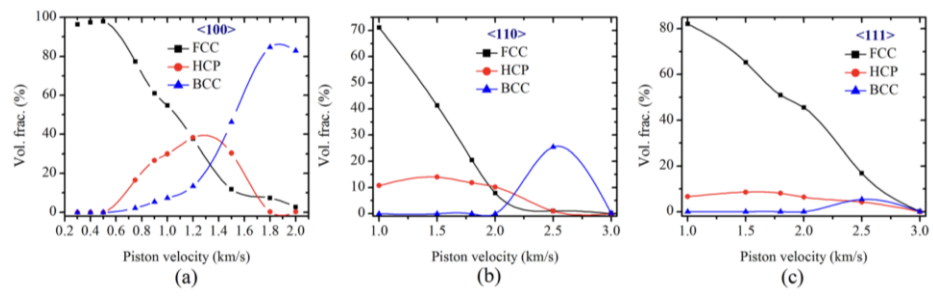
Грачёва Н.А., Фомин Е.В., Майер А.Е.

Работа поддержана Минобрнауки РФ (гос. задание НИР ЧелГУ № 075-01391-22-03) и РФФ (проект 20-11-20153)

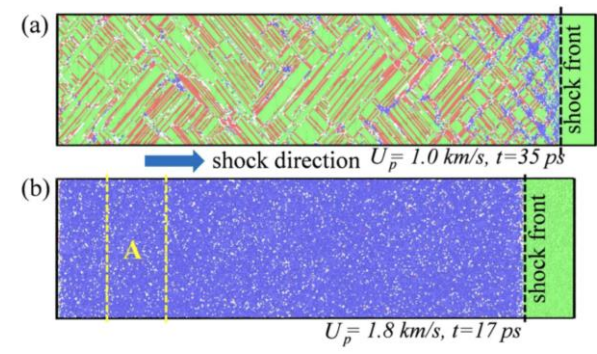


[Kai Zhao, Yang Li, Fan Zhao. Dynamic deformation of Al under shock loading // Comput. Mater. Sci., 2022]

[Liu Ze-Tao, Chen Bo, Ling Wei-Dong, Bao Nan-Yun, Kang Dong-Dong, Dai Jia-Yu. Phase transitions of palladium under dynamic shock compression // Acta Phys. Sin., 2022]

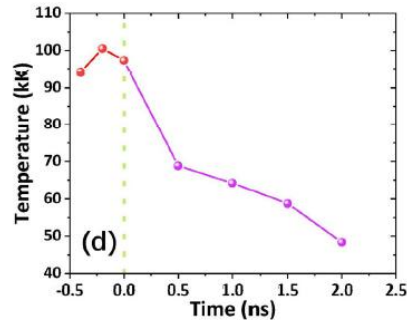
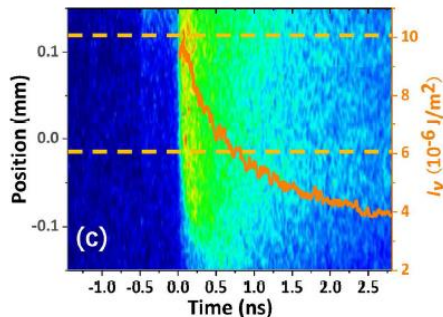
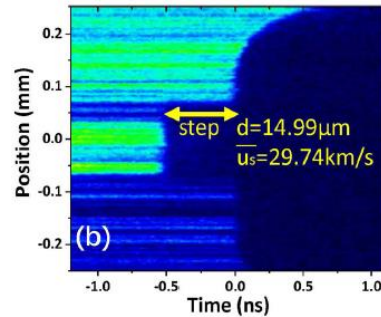
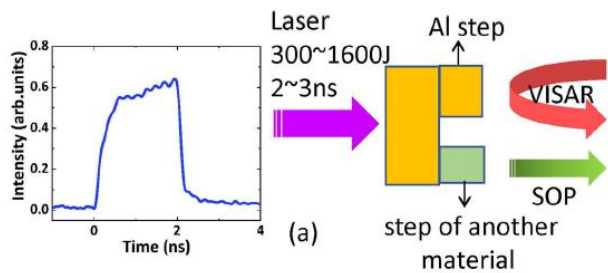
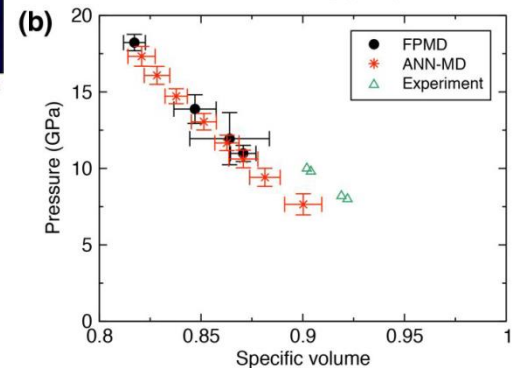
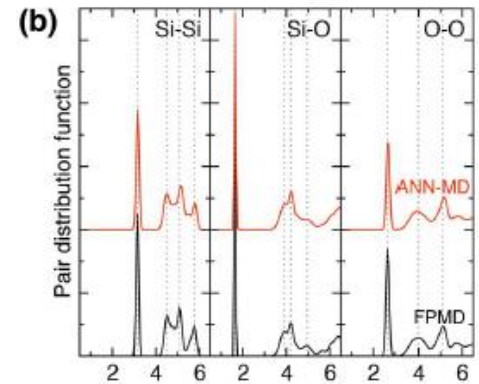
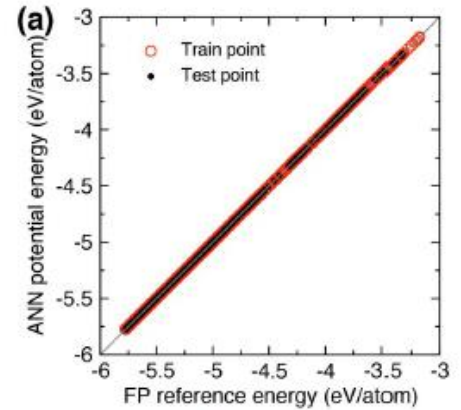
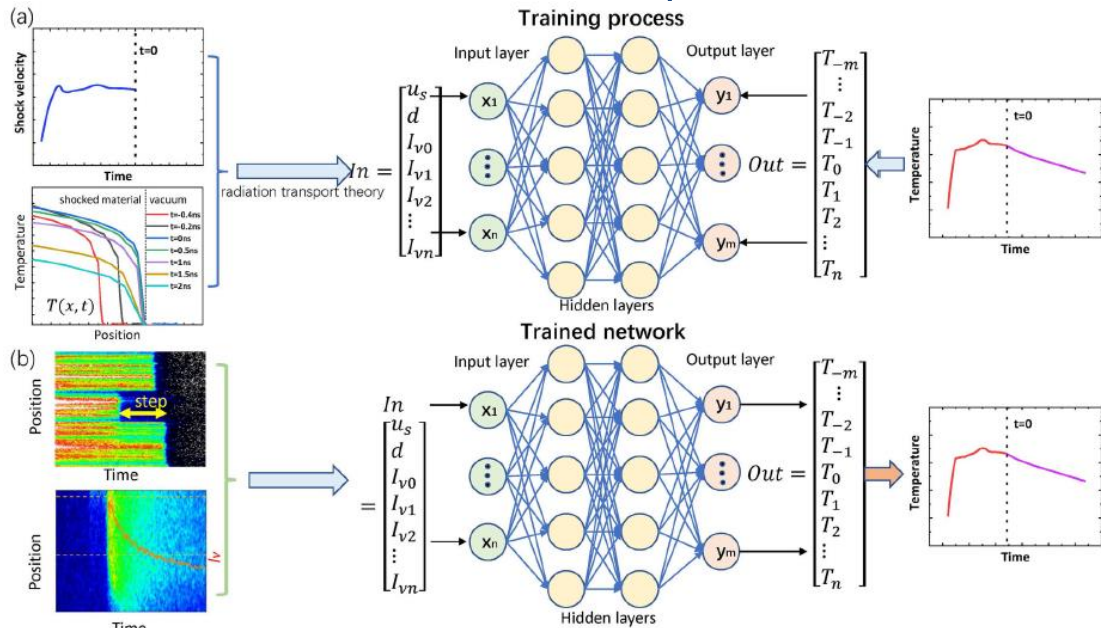


[W. Xua,b, X.C. Liua, X.Y. Li a, K. Lu. Deformation induced grain boundary segregation in nanolaminated Al–Cu alloy // Acta Materialia, 2020]



[Neogi, A., & Mitra, N. A metastable phase of shocked bulk single crystal copper: an atomistic simulation study // Scientific Reports, 2017]

Актуальность



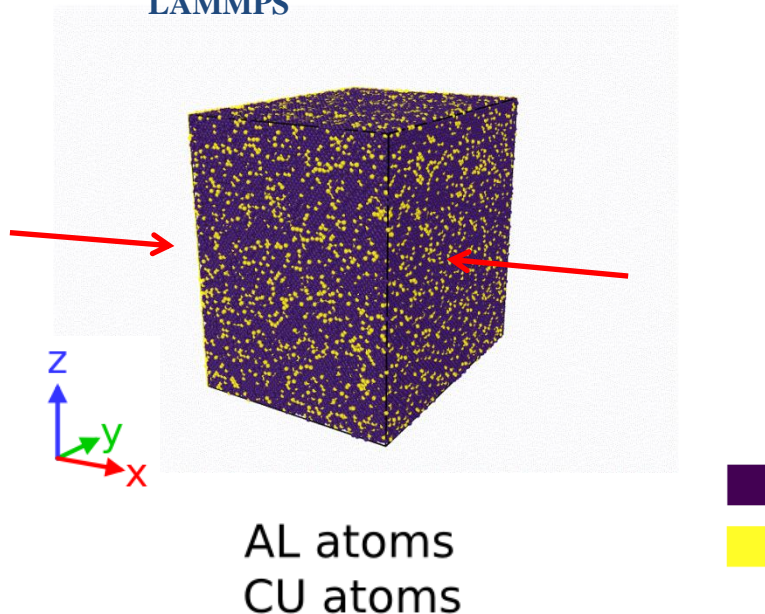
Zhiyu He et al.
J. Appl. Phys. 2020

Masaaki Misawa et al.
J. Phys. Chem. Lett. 2020

Молекулярно динамическое моделирование деформации монокристаллов

Одноосное сжатие

LAMMPS



Алюминий
Медь
Al-Cu сплавы

- первоначальный размер кристаллов $(20.25 \text{ нм})^3$
- периодические граничные условия
- потенциал **ADP**
- число атомов в кристалле **500 тыс.**

F. Apostol, Y. Mishin. Interatomic potential for the Al-Cu system // Physical Review B.

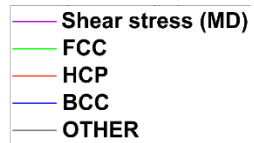
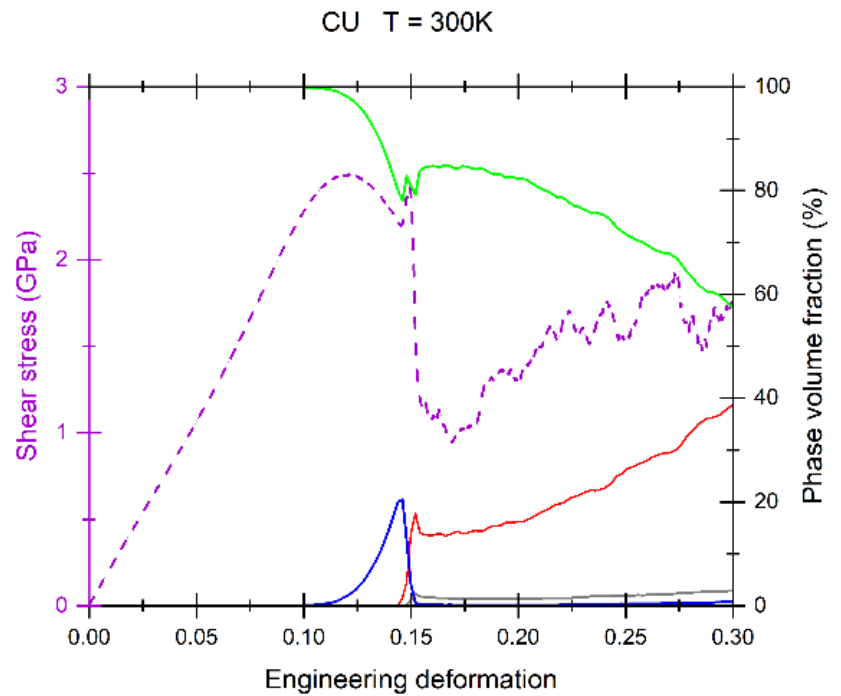
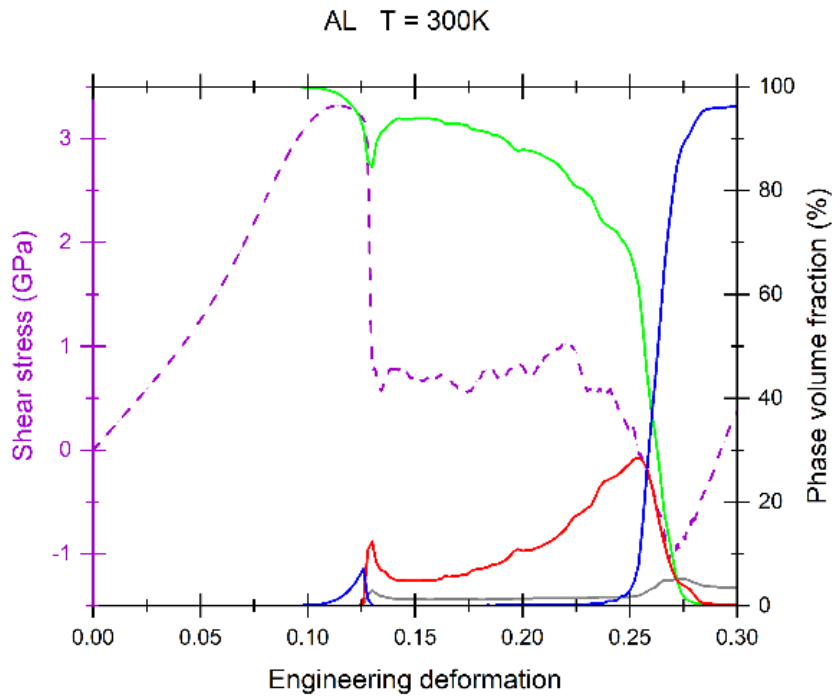
Температура, К

100, 200, 300, 400, 500, 600, 700, 800,
900

Концентрация меди в сплаве AL-CU, %

0, 10, 20, 30, 50, 70, 80, 100

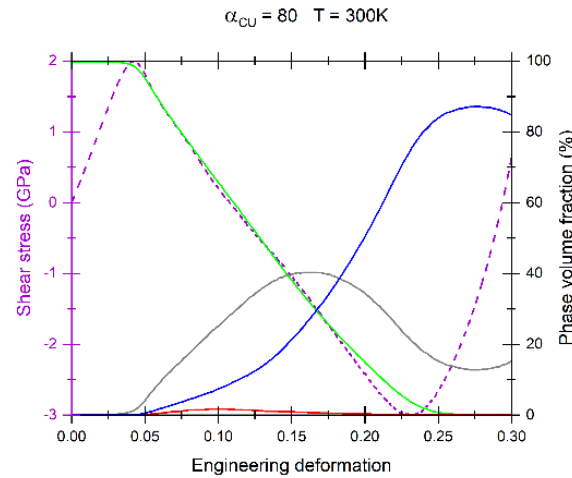
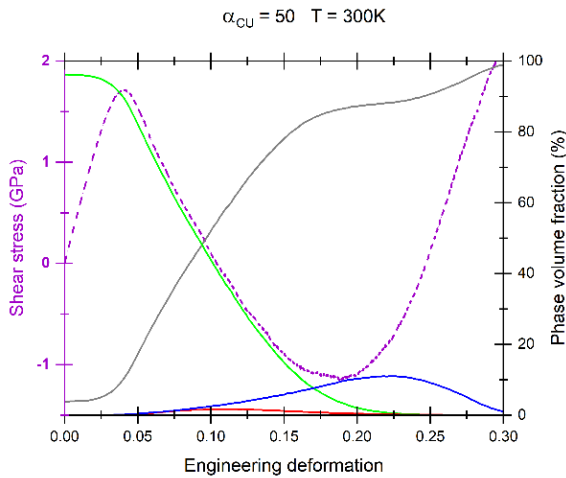
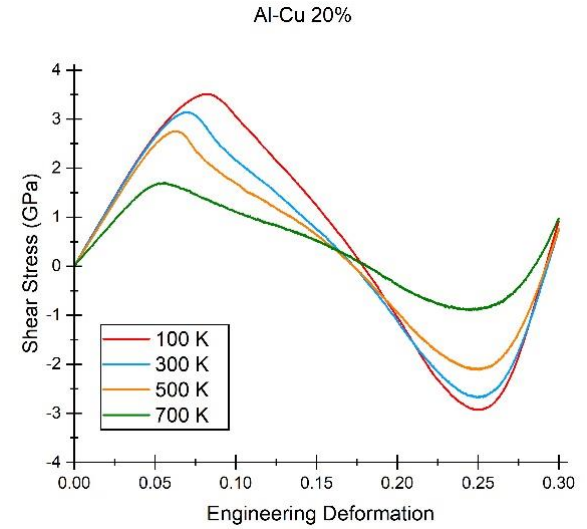
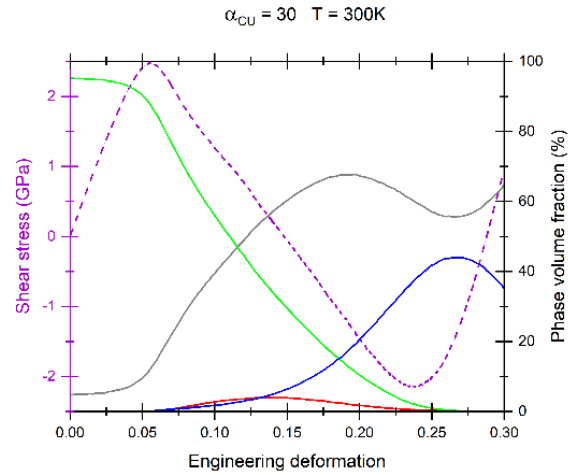
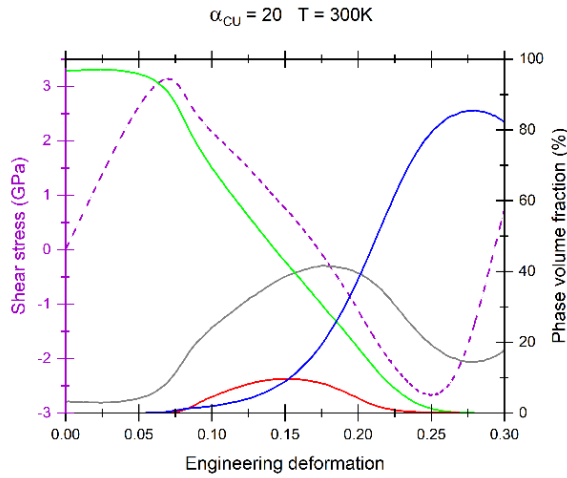
Алюминий и медь при T=300K



$$\dot{\epsilon} = 10^9 \text{ c}^{-1}$$

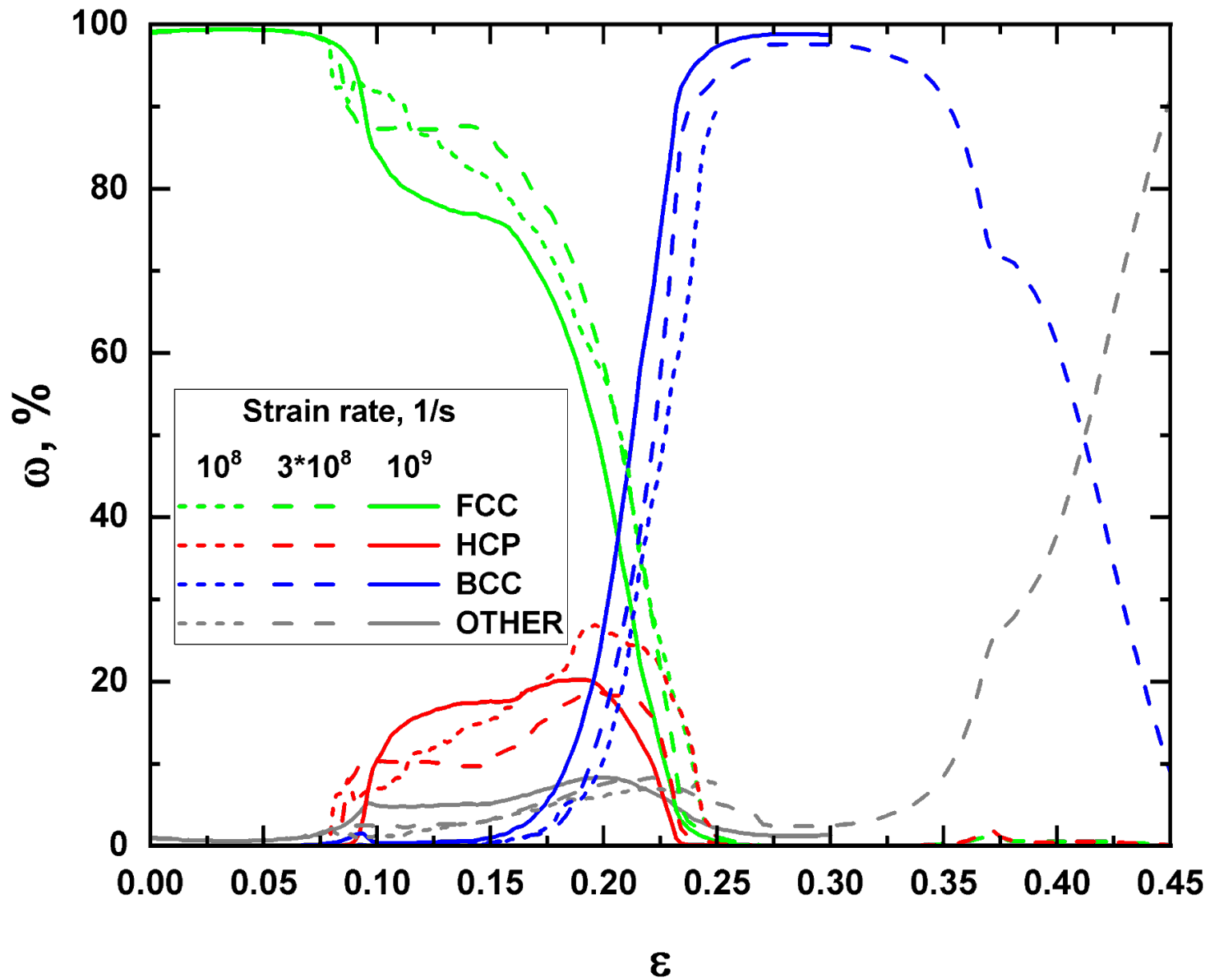
Сплавы при T=300K

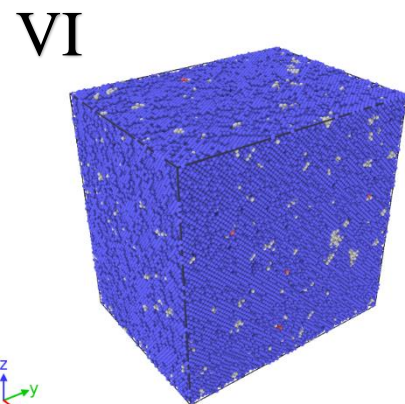
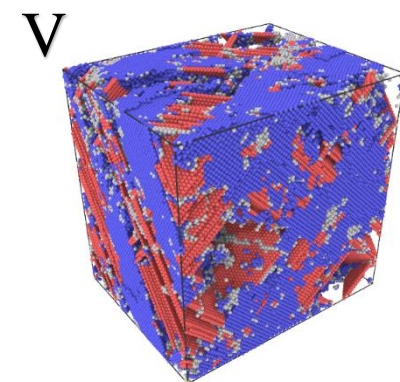
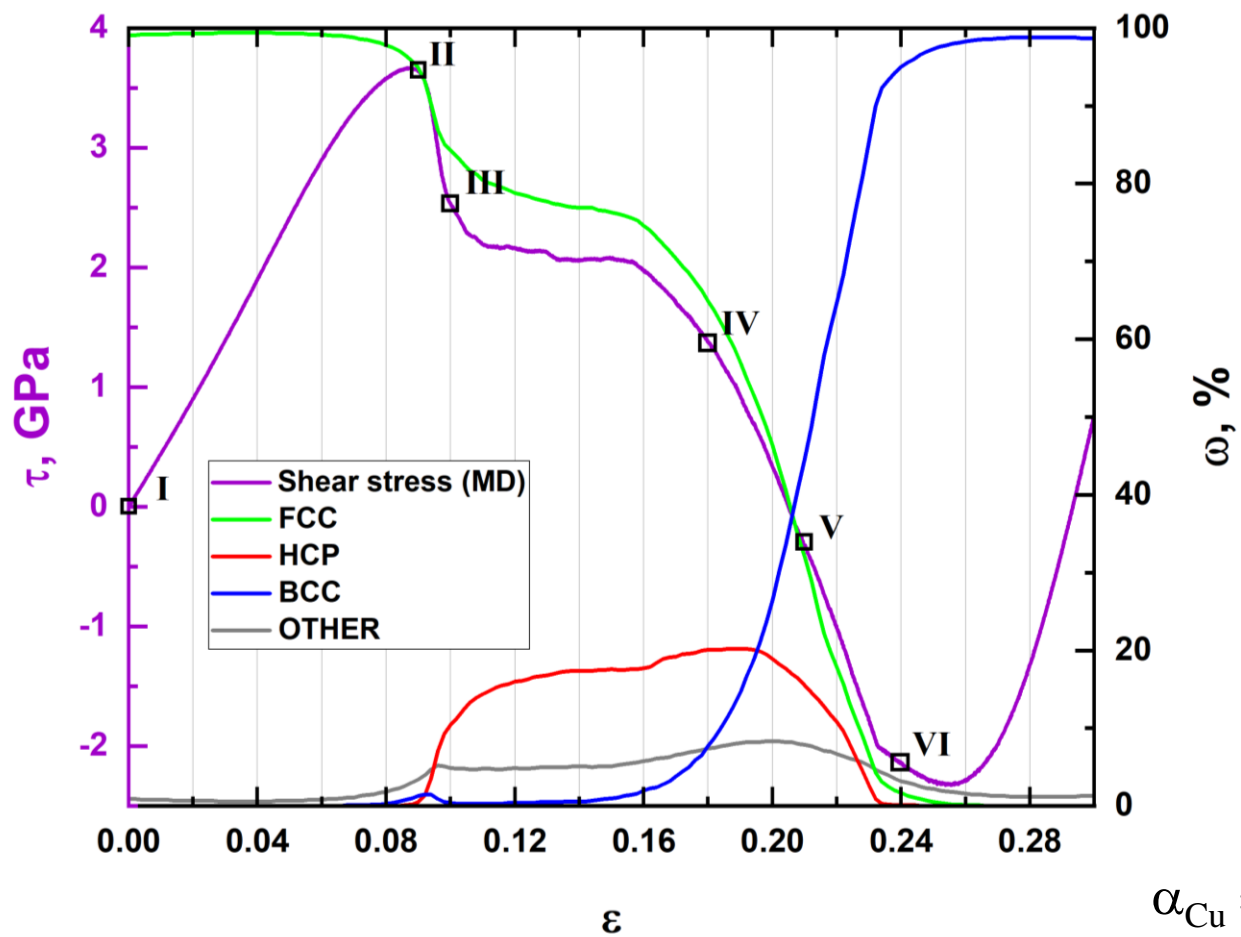
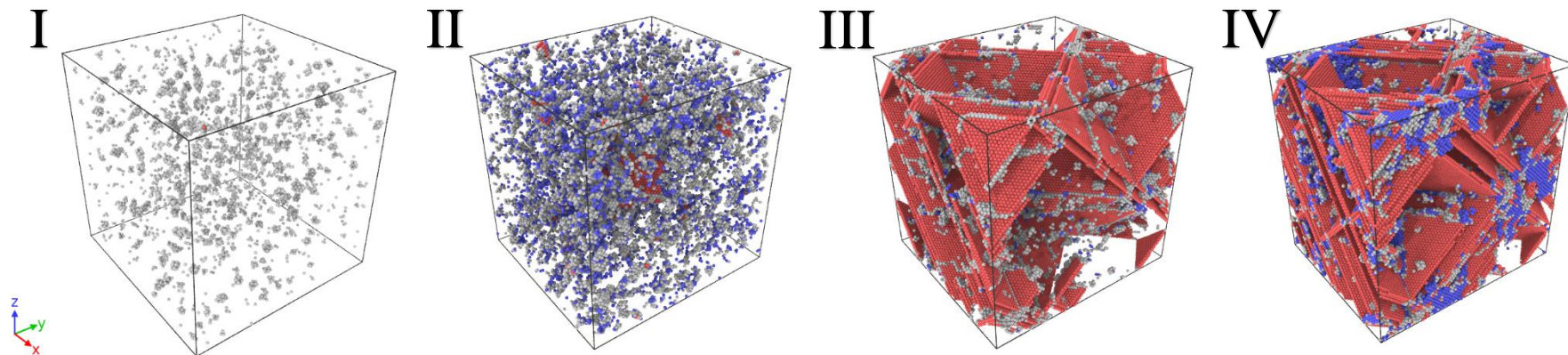
$\alpha_{Cu} = 20\%$



— Shear stress (MD)
— FCC
— HCP
— BCC
— OTHER

$\alpha_{CU} = 10\%$ при $T = 300\text{K}$





$\alpha_{Cu} = 10\%$ при $T = 300K$

Модель релаксации напряжений

Градиент макроскопических деформаций:

$$\mathbf{F} = \mathbf{F}^f \mathbf{F}^p \mathbf{F}^e$$

$$\mathbf{F} = \begin{pmatrix} L_x/L_0 & 0 & 0 \\ 0 & 1 & 0 \\ 0 & 0 & 1 \end{pmatrix}$$

Фазовые переходы

$$F_{11}^f = (n_1 \omega_{BCC} + n_2 \omega_{OTHER}) + 1,$$

$$F_{22}^f = \frac{1}{\sqrt{F_{11}^f}}$$

Пластичность

$$\dot{\mathbf{F}}^p = \begin{pmatrix} \dot{w} F_{11}^p & 0 & 0 \\ 0 & -\dot{w} F_{11}^p / 2 & 0 \\ 0 & 0 & -\dot{w} F_{11}^p / 2 \end{pmatrix}$$

$$F_{11}^p = \exp(w)$$

$$F_{22}^p = \frac{1}{\sqrt{F_{11}^p}}$$

$$F_{11}^e = \frac{F_{11}}{F_{11}^f F_{11}^p} \quad F_{22}^e = \frac{F_{22}}{F_{22}^f F_{22}^p}$$

Тензор конечных деформаций Грина:

$$\mathbf{E}^e = \frac{1}{2} [(\mathbf{F}^e)^T \mathbf{F}^e - \mathbf{I}]$$

$$\rho = \frac{\rho_0}{\sqrt{(2E_{11}^e + 1)(2E_{22}^e + 1)^2}}$$

$$\text{ANN: EOS} \quad \{\alpha_{Cu}, \rho, T\} \rightarrow \{P, E, K\}$$

$$s = \frac{4}{3} G (E_{11}^e - E_{22}^e)$$

$$\sigma = -P + s$$

$$\tau = -\frac{3}{4} s$$

Дислокационная пластичность

$$Y_b = Y_0 + AGb\sqrt{\rho_D}$$

$$\dot{\omega} = \chi^{-1} \left(\frac{1}{2} s - \frac{1}{3} Y_b \operatorname{sign}(s) \right) (\omega_{FCC} + \omega_{HCP}) H \left(\frac{1}{2} |s| - \frac{1}{3} Y_b \right)$$

[T. V. Popova, A. E. Mayer, K. V. Khishchenko. J. Appl. Phys. 2018]

$$\chi = \frac{8B}{3\rho_D b^2}$$

$$\dot{\rho}_D = Q_n + Q_m - Q_a,$$

$$Q_n = \frac{2\pi\rho c_t}{m_1} \exp \left[-\frac{k_n G b^3}{k_B T} \right] H(-Q_\varepsilon)$$

нуклеация

[A. E. Mayer, P. N. Mayer, M. V. Lekanov, B. A. Panchenko, Metals 2022]

$$Q_m = \frac{b}{\varepsilon_D} \left(\frac{3}{2} S \dot{\omega} \right)$$

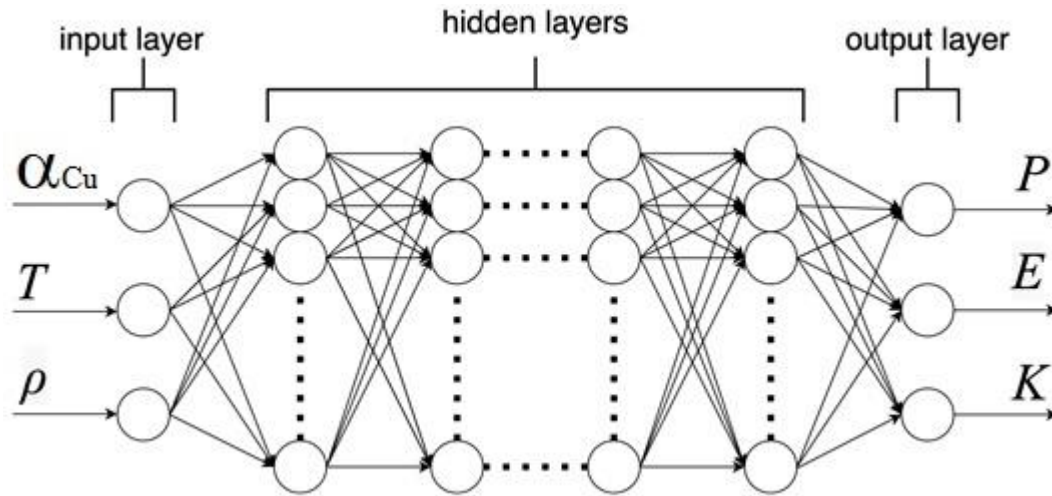
размножение
дислокаций

$$Q_a = 2K_a \rho_D \dot{\omega}$$

аннигиляция

$$\text{ANN} \quad \{\alpha_{Cu}, \rho, T\} \rightarrow \{G, Q_\varepsilon\}$$

Искусственные нейронные сети



5 скрытых слоев по 20 нейронов

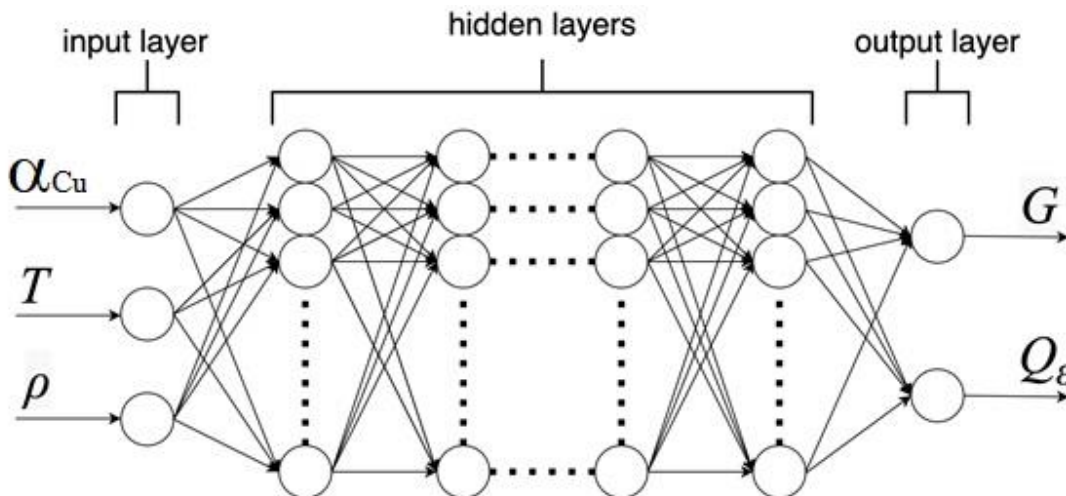
hidden layers: $a = \begin{cases} z, & \text{if } z > 0 \\ a_{pr}z, & \text{if } z \leq 0 \end{cases}$
PReLU

output layers: sigmoid function $a = \frac{1}{1 + e^{-z}}$

$$x_{norm} = (x - x_{min}) / (x_{max} - x_{min})$$

$$\theta \rightarrow w, b$$

$$z = \sum wx - b$$

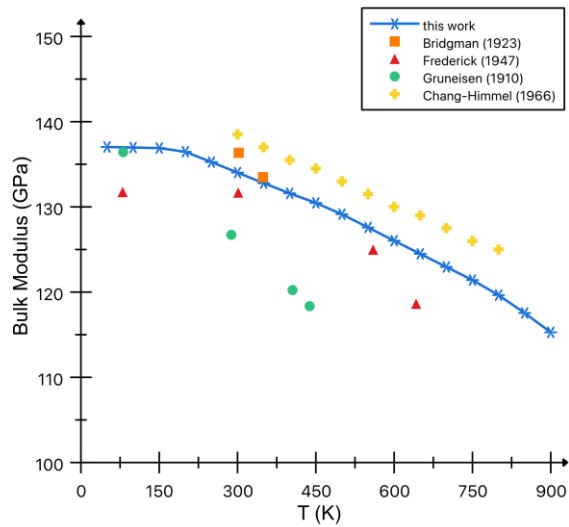


6 скрытых слоев по 20 нейронов

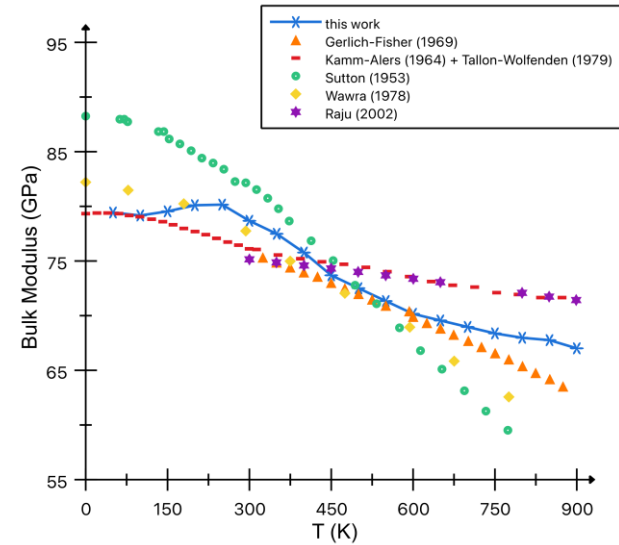
hidden layers: $a = \frac{z}{1 + e^{-\beta z}}$
Swish

output layers: sigmoid function $a = \frac{1}{1 + e^{-z}}$

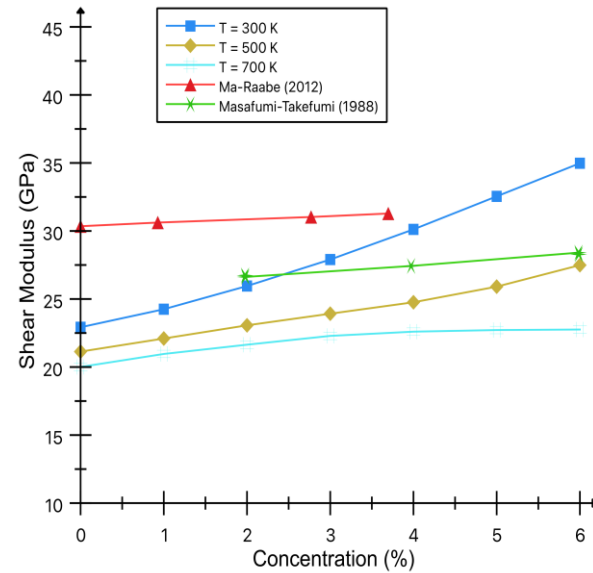
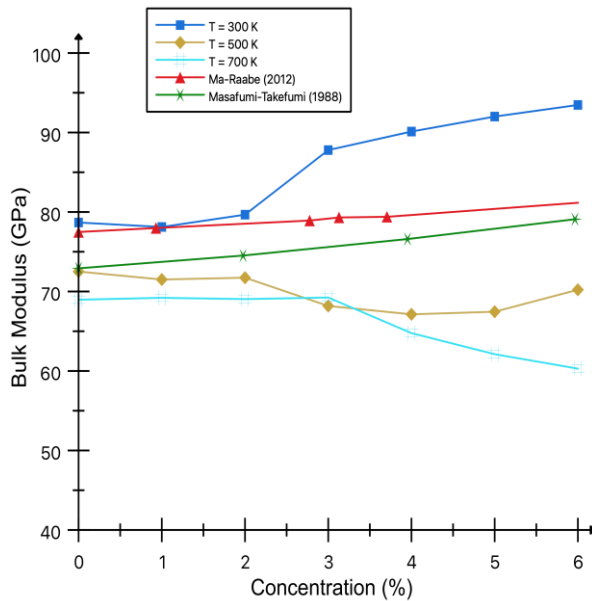
Cu



Al



Твердый раствор с малой концентрацией меди в алюминии



Модель эволюции фазовой структуры

$$\frac{d\omega_{FCC}}{d\varepsilon} = -K_1\omega_{FCC} - K_2\omega_{FCC}$$

$$\frac{d\omega_{BCC}}{d\varepsilon} = K_1\omega_{FCC} + K_4\omega_{OTHER} - K_3\omega_{BCC}$$

$$\frac{d\omega_{OTHER}}{d\varepsilon} = K_2\omega_{FCC} + K_3\omega_{BCC} - K_4\omega_{OTHER}$$

$$K_\beta = K_{0\beta} \exp \left[\frac{U_\beta - V_0 (\varepsilon_{1\beta} \sigma_{11} + 2\varepsilon_{2\beta} \sigma_{22})}{k_B T} \right]$$

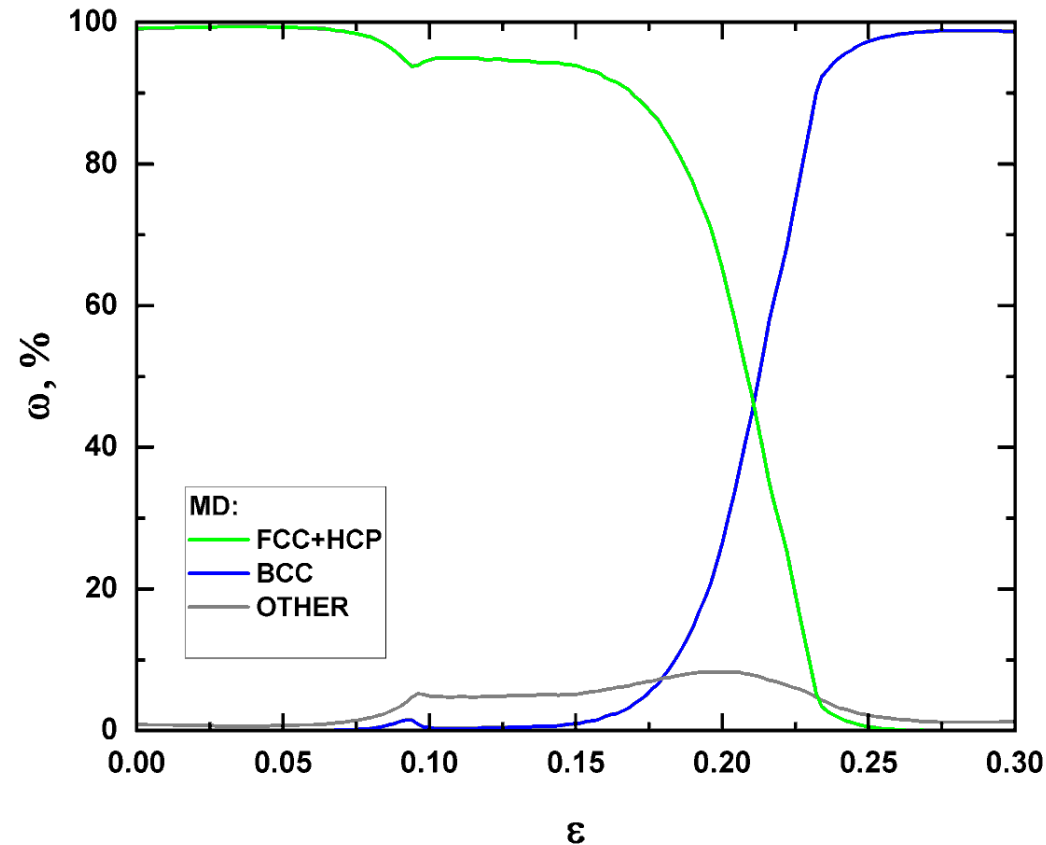
$\beta = 1: FCC \rightarrow BCC$

$\beta = 2: FCC \rightarrow OTHER$

$\beta = 3: BCC \rightarrow OTHER$

$\beta = 4: OTHER \rightarrow BCC$

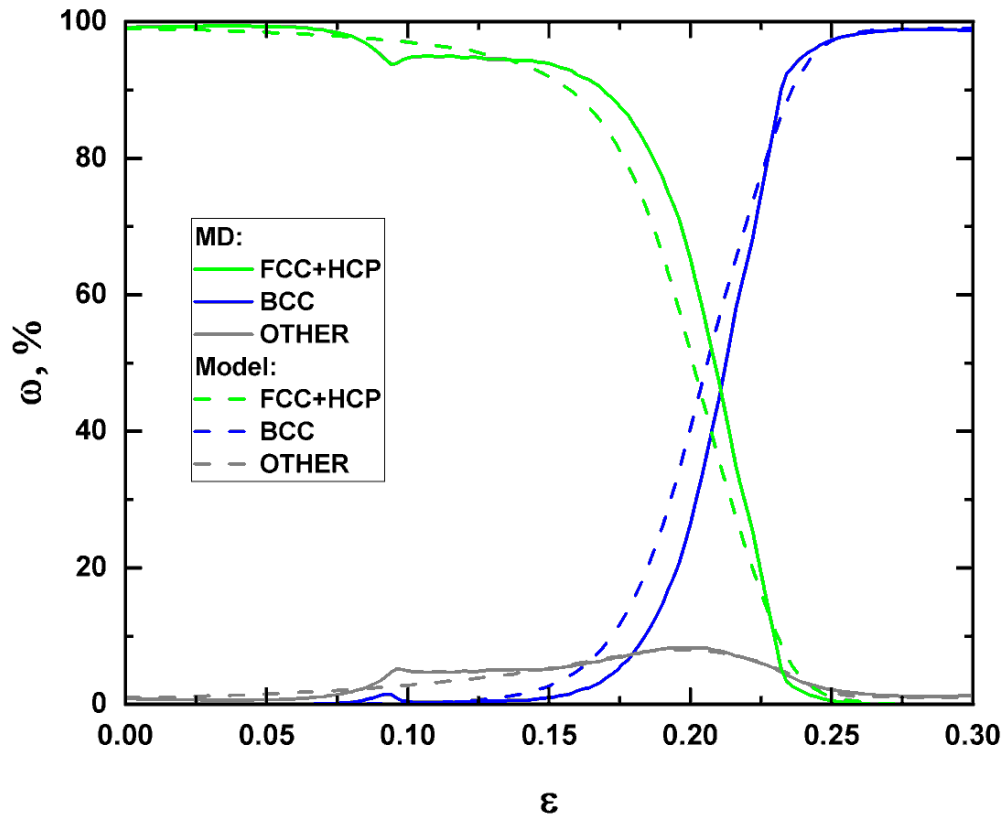
$\alpha_{Cu} = 10\%$ при $T = 300K$



Подбор параметров моделей методом Байеса

$$P = \prod_n \exp \left\{ -k \left[\left(\frac{\omega_{model}^n - \omega_{MD}^n}{\Delta\omega_{MD}} \right)_{BCC}^2 + \left(\frac{\omega_{model}^n - \omega_{MD}^n}{\Delta\omega_{MD}} \right)_{OTHER}^2 \right] \right\}$$

$$\Delta\omega_{MD} = \omega_{\max} - \omega_{\min}$$



$\beta = 1: FCC \rightarrow BCC$

$\beta = 2: FCC \rightarrow OTHER$

$\beta = 3: BCC \rightarrow OTHER$

$\beta = 4: OTHER \rightarrow BCC$

Параметр	Значение			
	$\beta=1$	$\beta=2$	$\beta=3$	$\beta=4$
$K_{0\beta}$	10^2	10^2	10	10^2
U_{β}, eV	0.3	0.19	0.13	0.3
$V_{0\beta}, m^3$	10^{-30}			
$\epsilon_{1\beta}$	0.34	0.37	0.17	0.24
$\epsilon_{2\beta}$	0.52	0.02	0.17	0.52

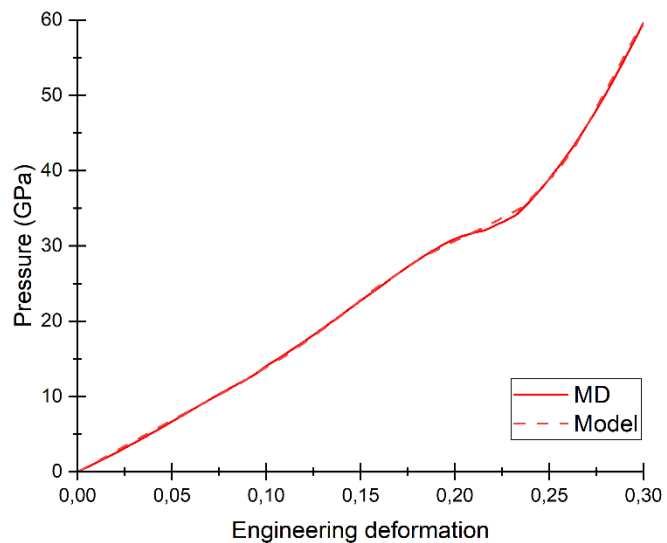
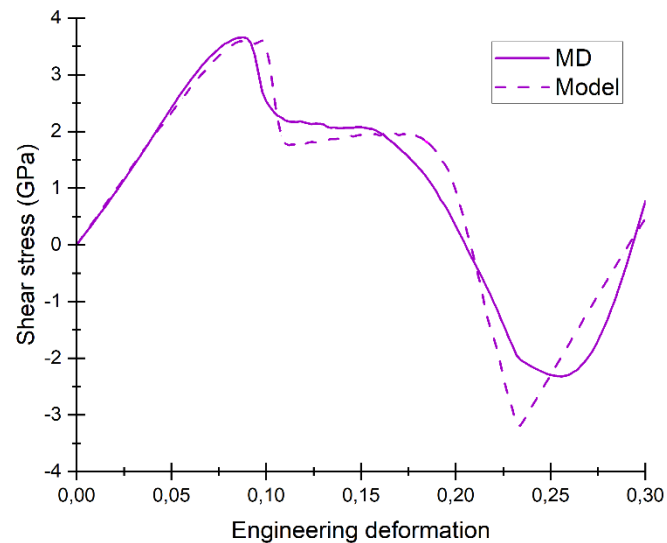
Подбор параметров моделей методом Байеса

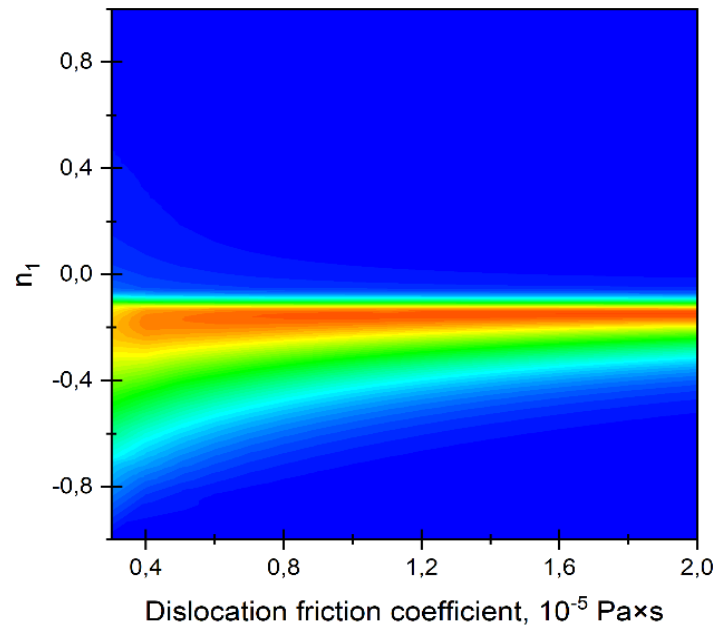
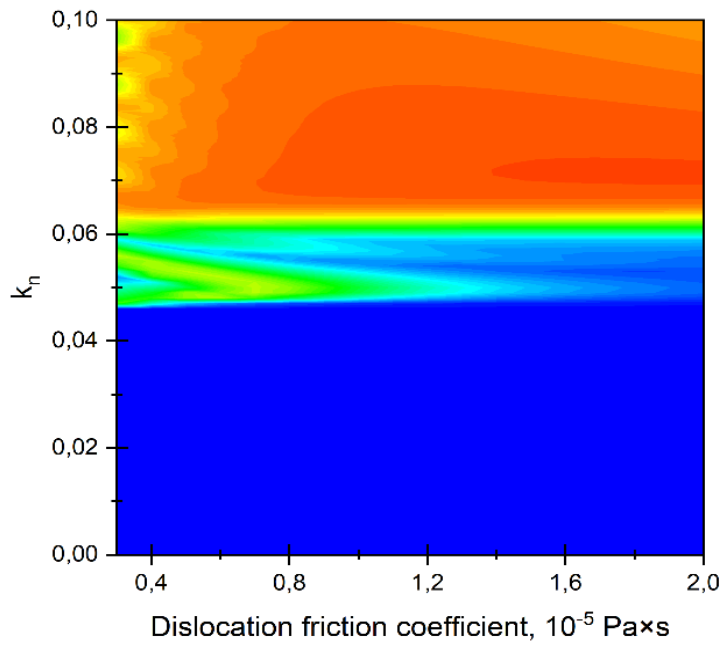
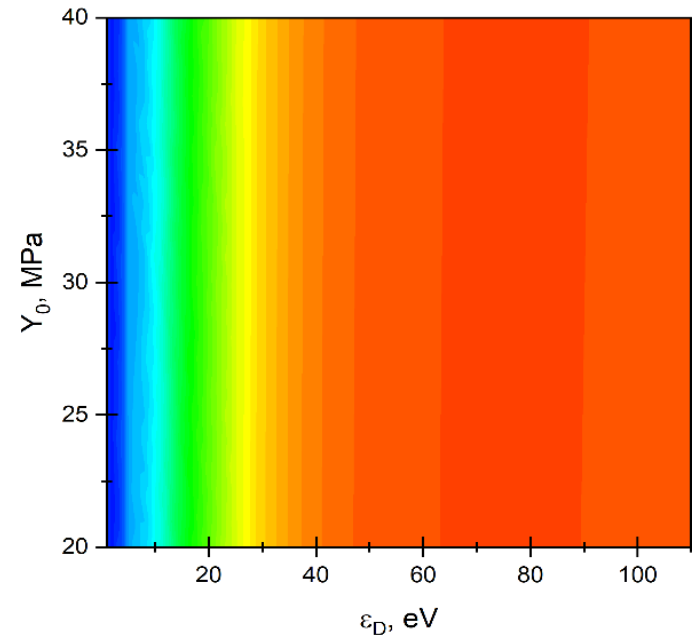
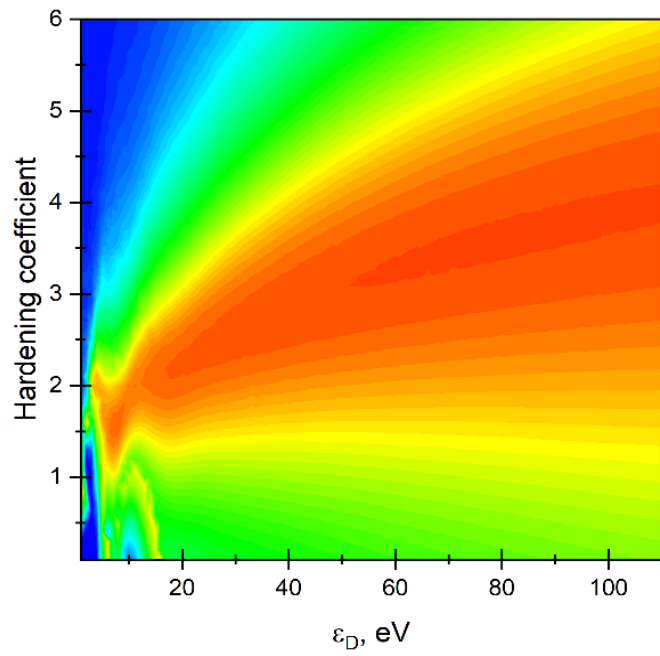
$$P = \prod_n \exp \left\{ -k \left[\left(\frac{\tau_{model}^n - \tau_{MD}^n}{\Delta \tau_{MD}} \right)^2 + \left(\frac{P_{model}^n - P_{MD}^n}{\Delta P_{MD}} \right)^2 \right] \right\}$$

$$\tau_{model} = -\frac{3}{4} s$$

$$\tau_{MD} = \frac{1}{2} \left(\sigma_{xx} - \frac{\sigma_{yy} + \sigma_{zz}}{2} \right)$$

Параметр	Значение
n_1	-0.15
n_2	-0.23
$B, \text{Pa} \times s$	1.8×10^{-5}
Y_0, MPa	30
A	3.5
k_n	0.072
ε_D, eV	74

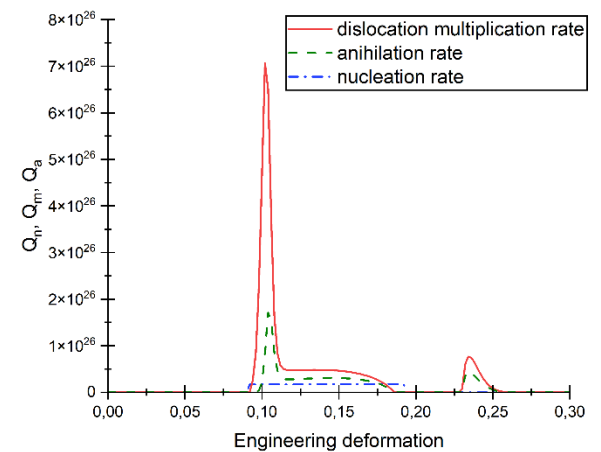
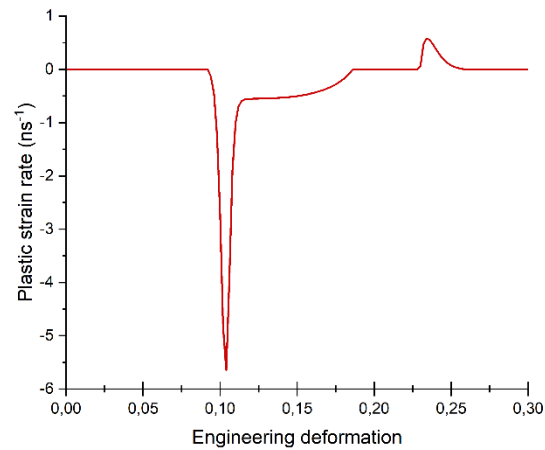
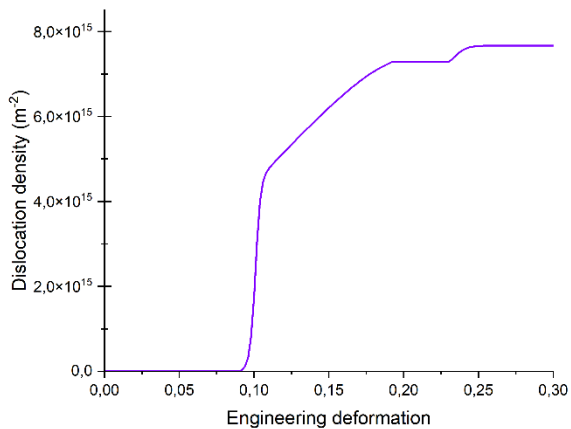
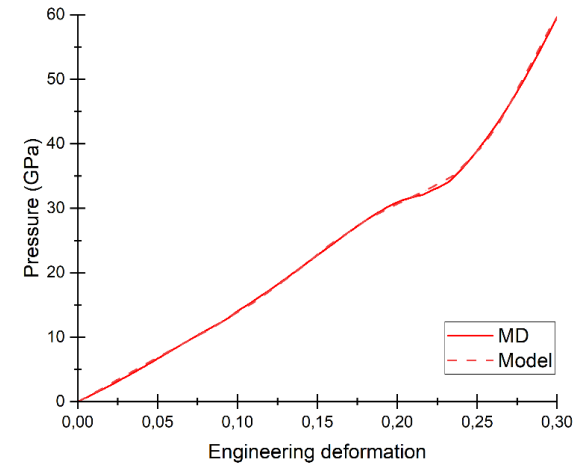
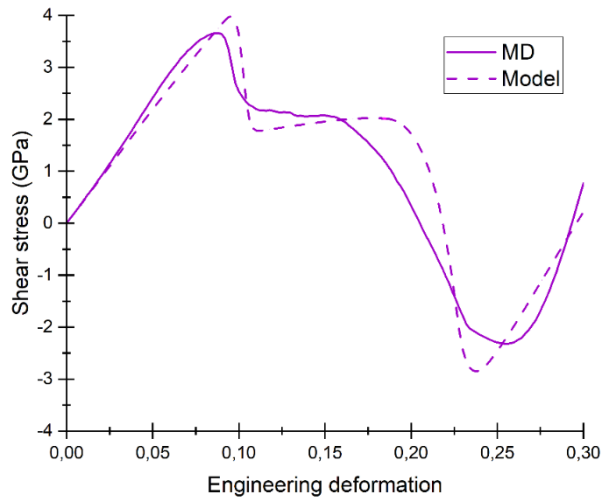




High

Low

Результаты модели релаксации напряжений



Заключение

- Проведено молекулярно-динамическое моделирование одноосного сжатия и растяжения алюминиевых кристаллов с различной концентрации атомов меди в широком диапазоне температур
- Фазовый переход вносит существенный вклад в релаксацию касательных напряжений
- Сформулирована модель фазового превращения на основе уравнения Аррениуса
- Определены параметры модели пластичности и фазовых переходов методом Байеса
- Обучены две искусственные нейронные сети с прямой связью, позволяющие определять константы упругости, порог нуклеации дислокаций и рассчитывать давление в материале